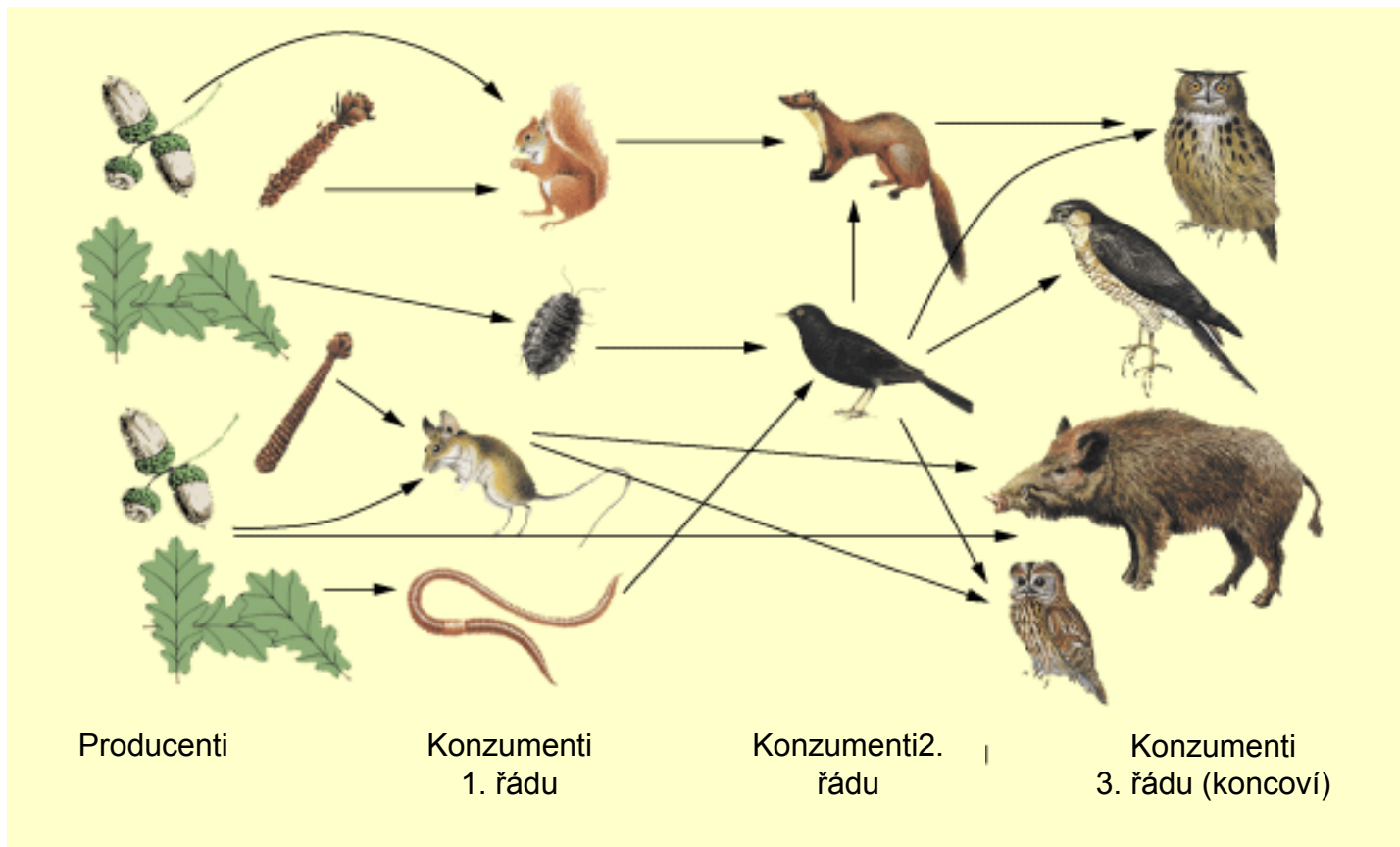




## Saprotrófní potravní řetězec



## **Pozor na chybné definice!**

Jakrlová, Pelikán (1999) – Ekologický slovník

Potravní řetězec dekompoziční:

vede od odumřelé organické hmoty přes četné následné rozkladače (dekompozitory) až k mikroorganismům. Velikost se zmenšuje, početnost zvětšuje.

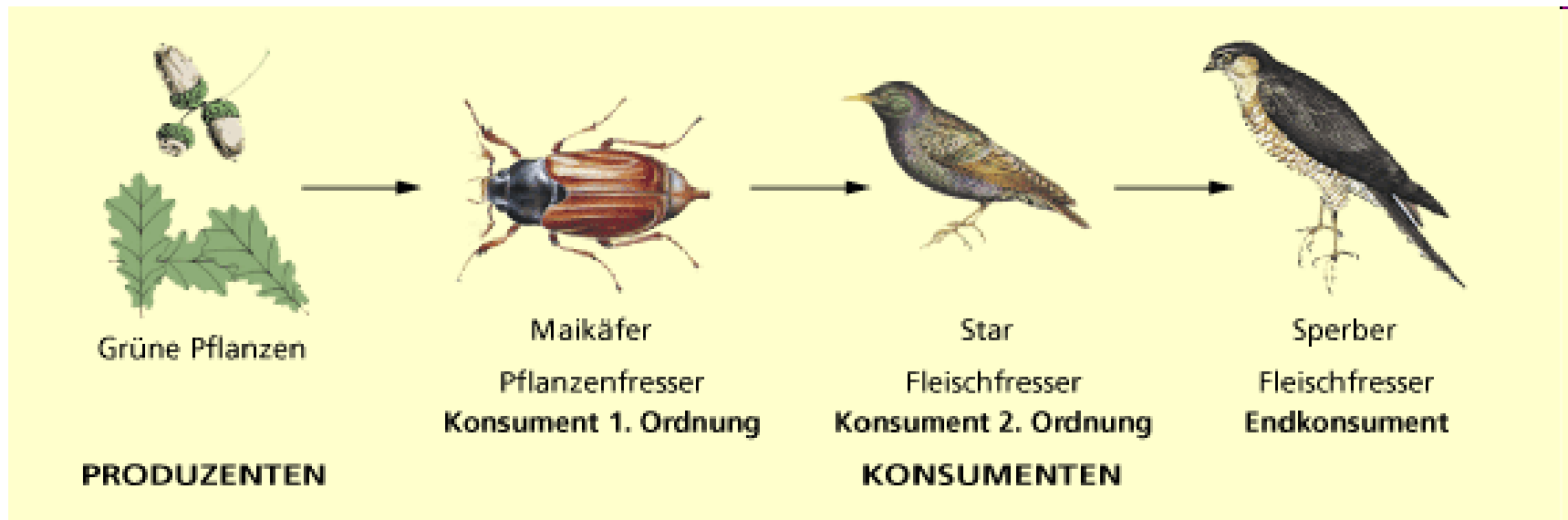
Dekompoziční řetězec:

přenos látek a energie v procesu dekompozice; rozklad odumřelých látek od počátečních (iniciálních) rozkladačů (dekompozitorů), přes návazné další články až ke konečným (finálním) dekompozitorům, uvolňujícím v konečné fázi dekompozice minerální látky. Dělbá práce (funkce) dekompozitorů, protože žádný druh organismu nemůže sám kompletně rozložit mrtvé tělo až na látky minerální.

**To co je výše popsáno není potravní řetězec ale sled organismů, které se podílejí na rozkladu (= dekompozici) !**

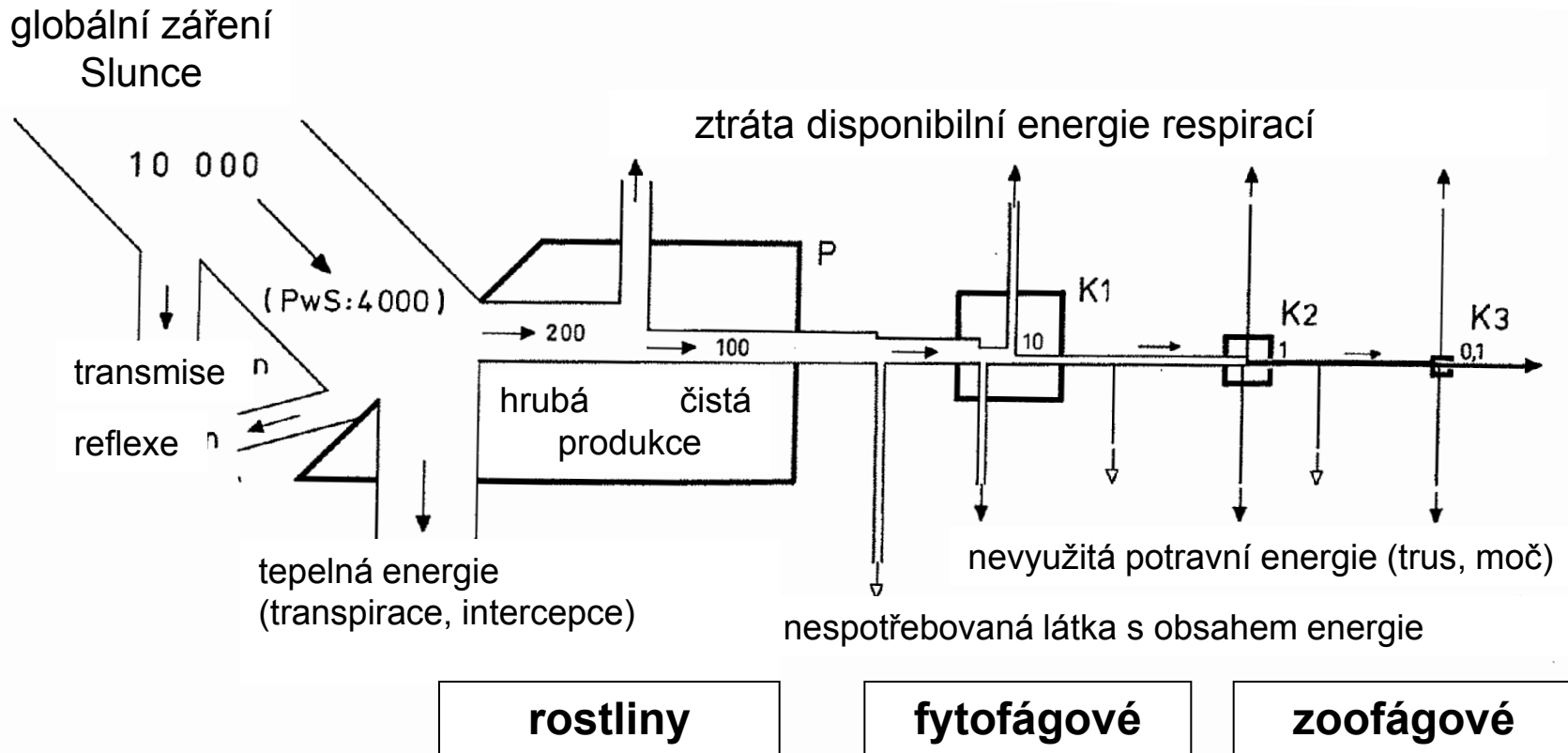
# Pedobiologie: saprotrofní potravní řetězec

## Autotrofní („pastevně-kořistnický“) potravní řetězec (grazing food chain, herbivore food chain)



## Pedobiologie: saprotrofní potravní řetězec

### Tok energie autotrofním („pasevně-kořistnickým“) potravním řetězcem (grazing food chain, herbivore food chain)



Údaje jsou v kJ · m<sup>-2</sup> · d<sup>-1</sup>. PwS = fotosynteticky účinné záření (400-700 nm);  
P = producenti (primární); K1 = konzumenti 1. řádu; K2 = konzumenti 2. řádu;  
K3 = konzumenti 3. řádu

# Pedobiologie: saprotrofní potravní řetězec

## Tok energie živočišnou populací při příjmu potravy a reprodukci

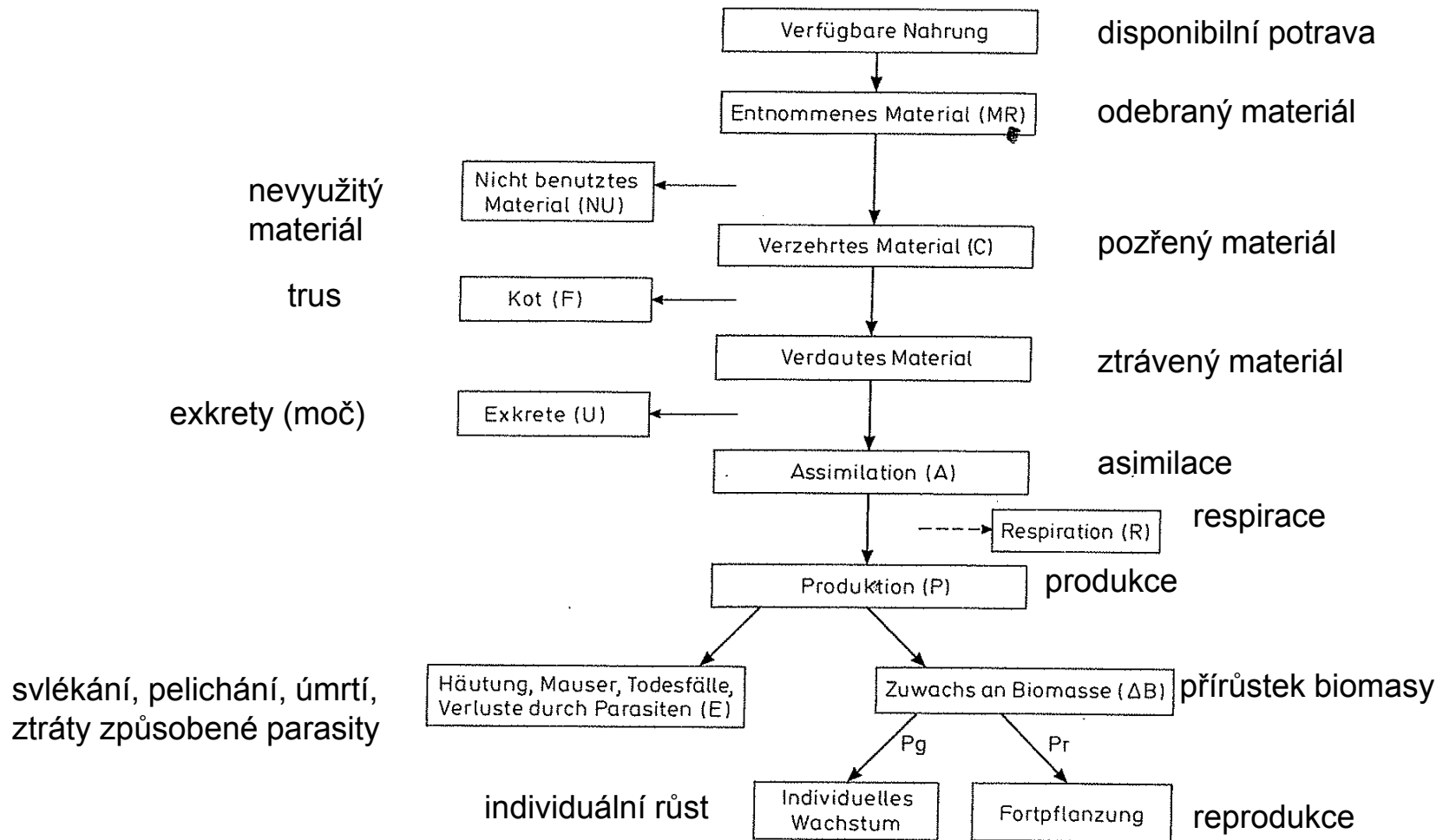
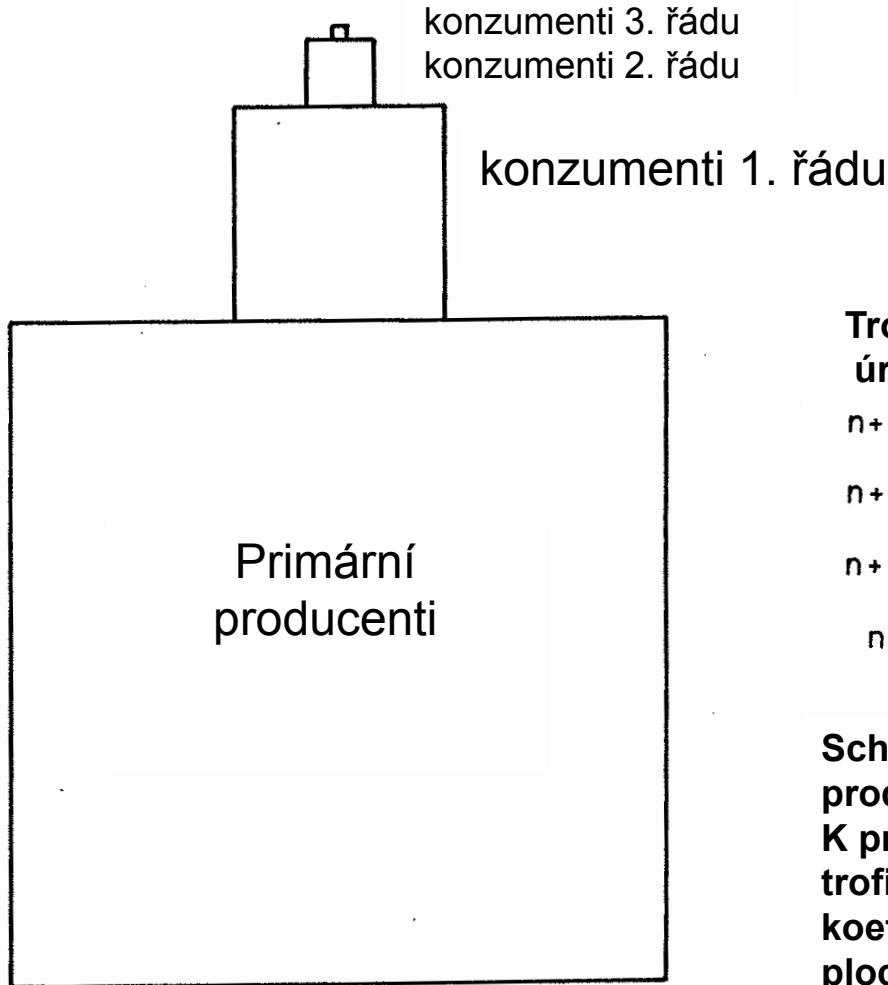


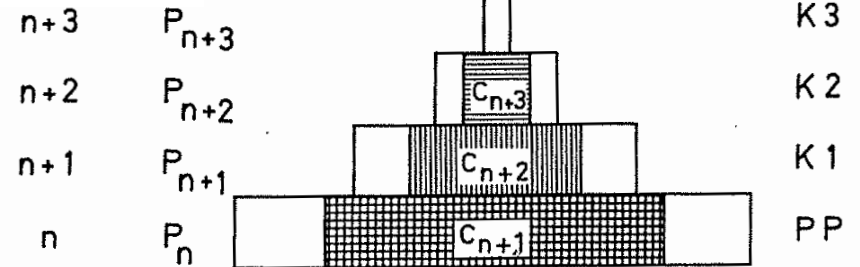
Abb. 1.7: Schema des Energieflusses bei Nahrungsverwertung und Produktion in einer Tierpopulation. (In Anlehnung an Petruszewicz u. Macfadyen 1970.) Erläuterungen im Text.

## Trofická (potravní) pyramida



Trofická (= potravní) pyramida  
(založeno na biomase)

### Trofická úroveň



Schematická potravní pyramida z primárních producentů (PP) a konzumentů 1.-3. řádu (K1-3). K produkci ( $P_n - P_{n+3}$ ) dochází na čtyřech trofických úrovních, tj. n až n + 3. Ekotrofický koeficient udává, jaký podíl (rastrované plochy, konzumace = C) bezprostředně předcházející trofické úrovně je pozřeno konzumenty příslušné úrovně. Příklad: ekotrofický koeficient úrovně K1 se rovná  $C_{n+1} / P_n$ .

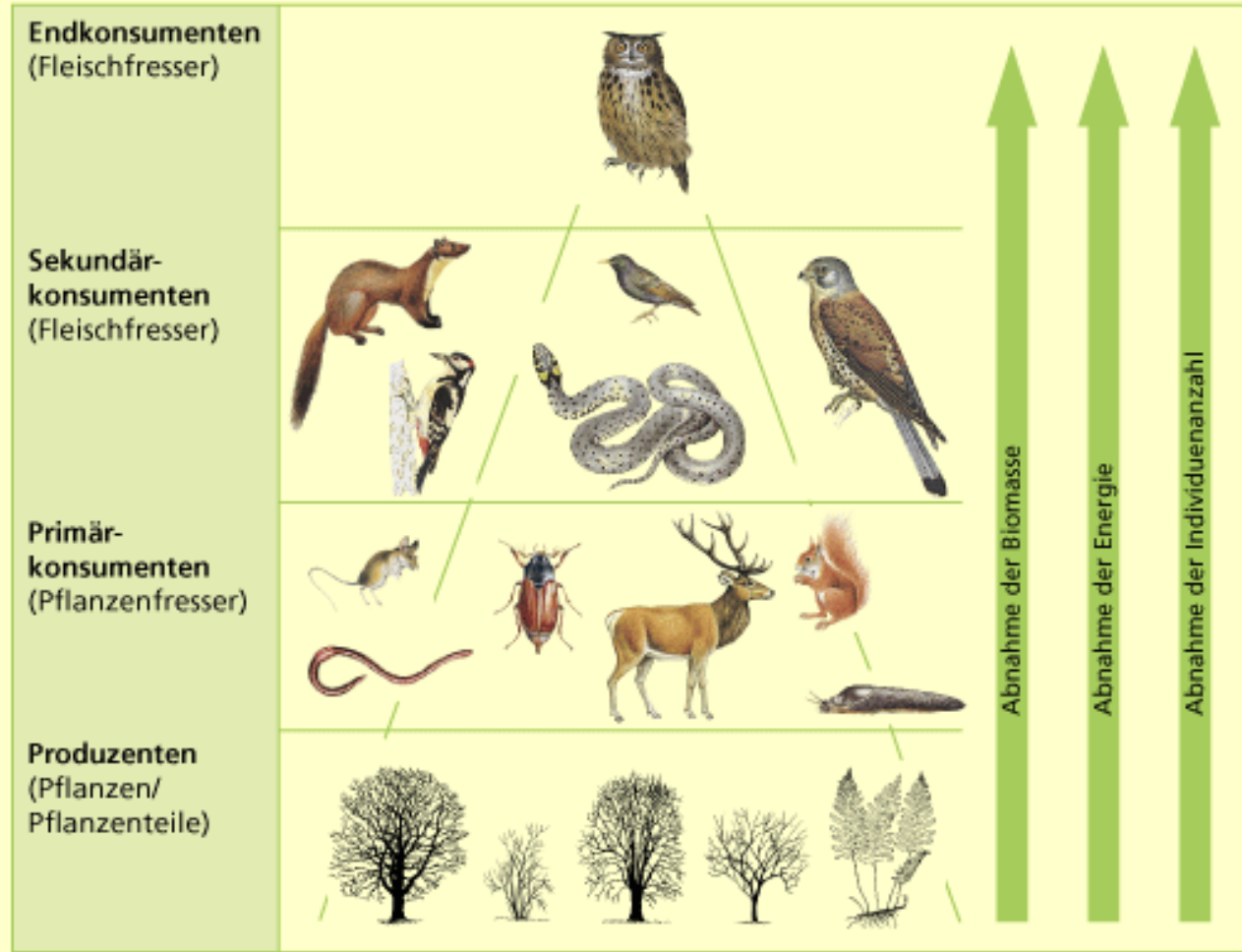
## Trofická (potravní) pyramida

**Vrcholoví konzumenti (masožravci)**

**Sekundární konzumenti (masožravci)**

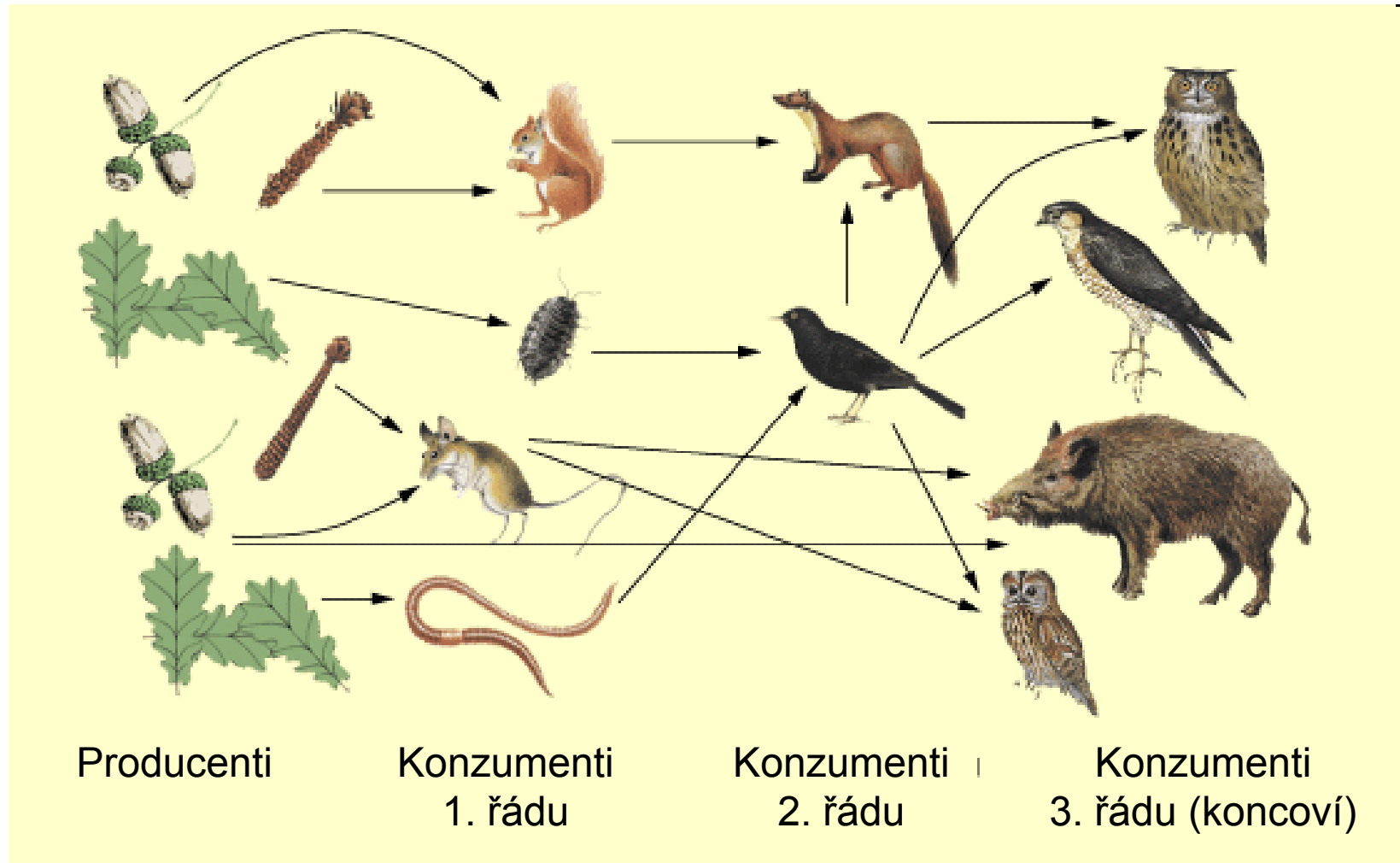
**Primární konzumenti (býložravci)**

**Producenti (rostliny, jejich části)**



Šipky (z leva do prava): úbytek biomasy, úbytek energie, úbytek počtu jedinců (abundance)

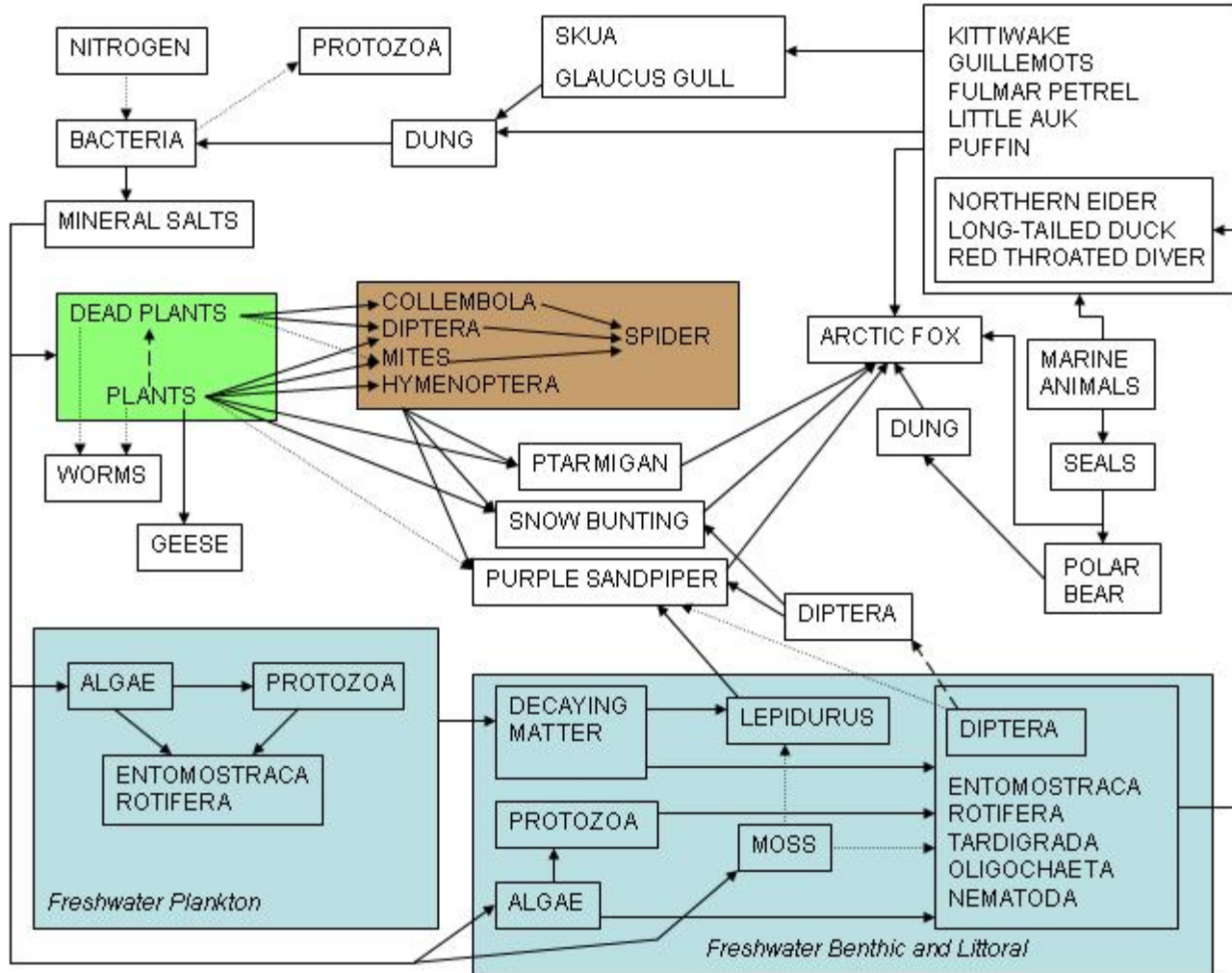
**Potravní síť v smíšeném lese (velice zjednodušeno)**





# Pedobiologie: saprotrofní potravní řetězec

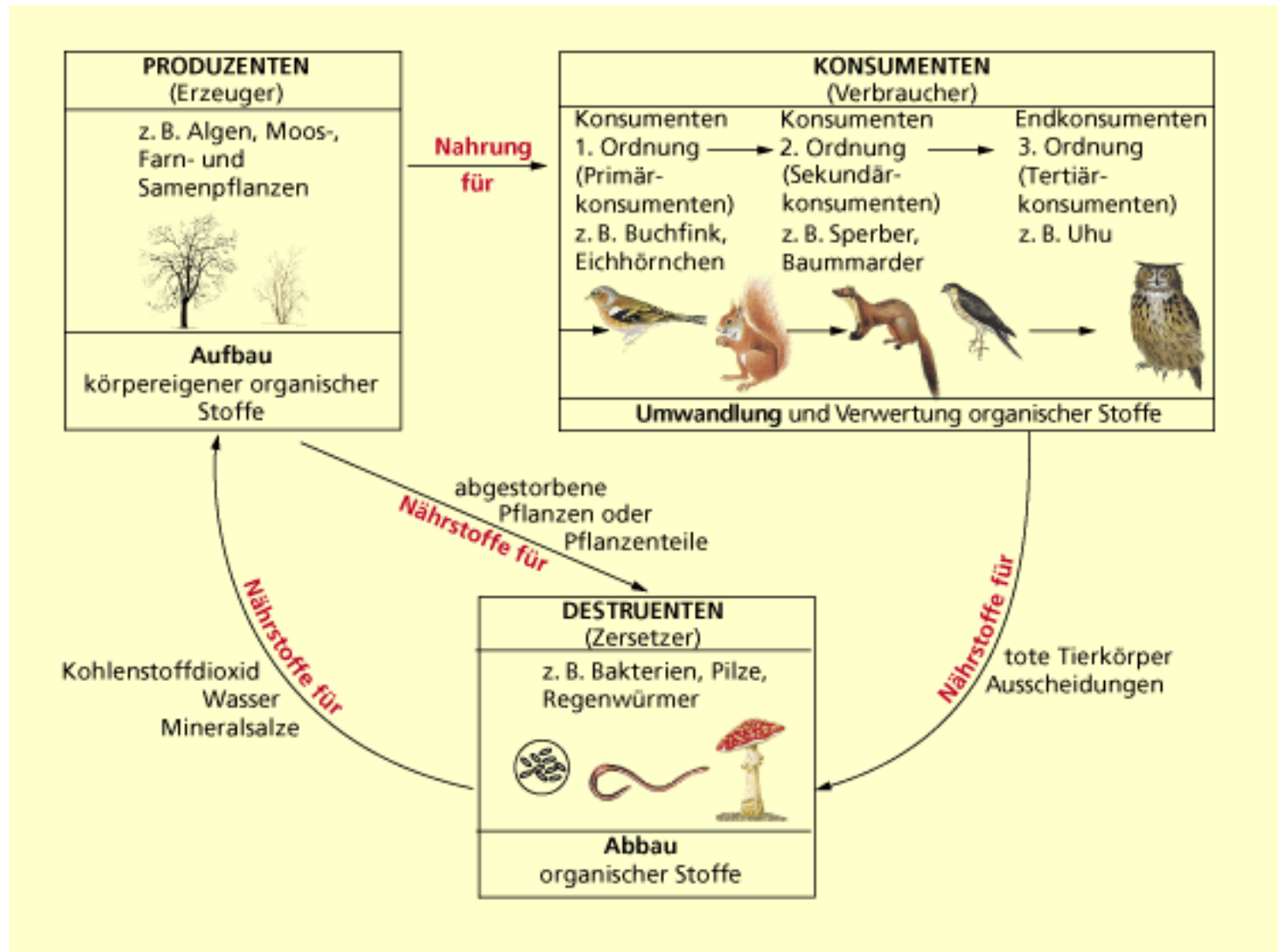
**První publikovaná potravní síť (Summerhayes & Elton, 1923):  
norský ostrov Bjørnøya (Bear Island)**



Summerhayes and Elton's 1923 food web of Bear Island (*Arrows represent an organism getting eaten by another organism*)

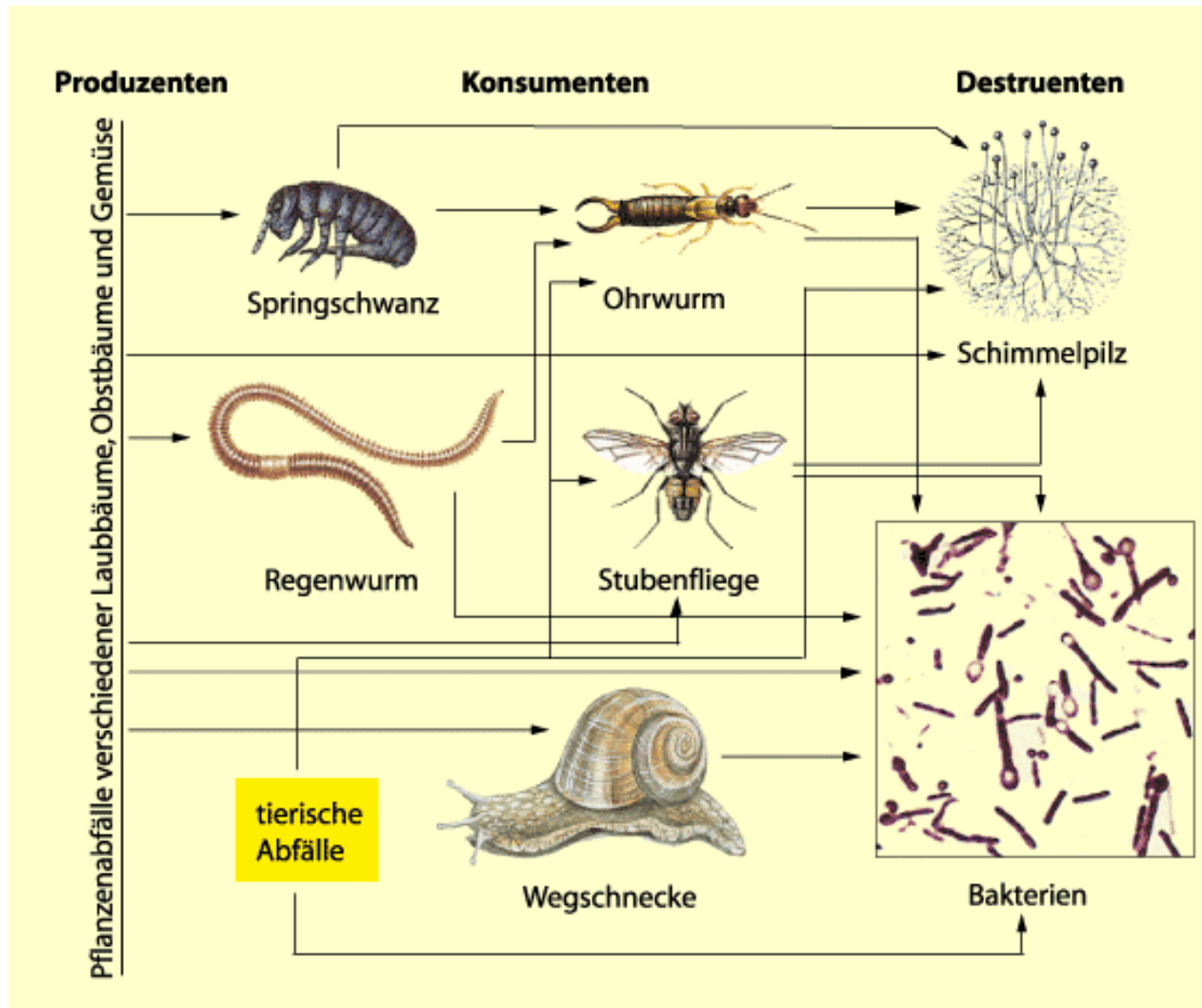
## Pedobiologie: saprotrofní potravní řetězec

Vztah mezi producenty, konzumenty a destruenty v lesním ekosystému (zjednodušeno) – **toto znázornění je problematické!**



# Pedobiologie: saprotrofní potravní řetězec

## Potravní síť v půdě (velmi zjednodušené)



## Pedobiologie: saprotrofní potravní řetězec

Saprotrofní potravní řetězec = dekompoziční (detritový, detritivorní) potravní řetězec, (angl. detritus food chain, saprovore food chain, detritivore food chain)

Rozkladači, dekompozitoři (angl. decomposers, něm. Zersetzer): organismy, které se živí mrtvou rostlinou či živočišnou substancí

- saprofágní (detritivorní) živočichové
- saprotrofní mikroorganismy

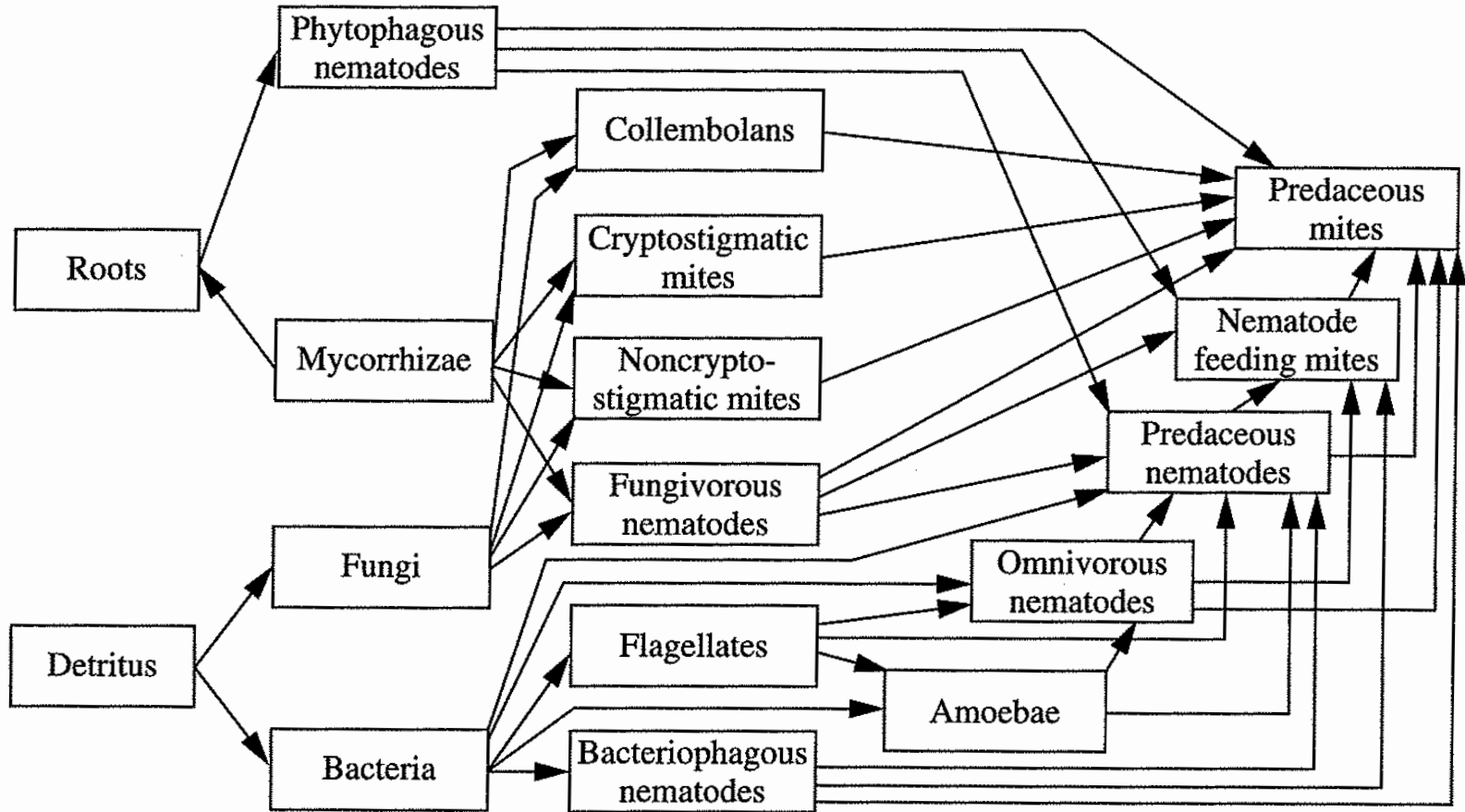
Reducenti, destruenti (reducers): organismy, které odbourávají organickou substanci a přeměňují jí v minerální látky (mineralizace), tedy bakterie a houby. (V širším slova smyslu synonymní k rozkladačům).

Rozklad, dekompozice: rozpad a rozklad odumřelé organické látky mikroorganismy, chemicko-fyzikálními faktory (vyluhování apod.), živočichy

za přístupu vzduchu – aerobní: tlení

bez přístupu vzduchu – anaerobní: hniloba

## Potravní síť v půdě (schematicky)



**Fig. 2.2** Structure of the soil food web. (Adapted from de Ruiter et al. 1995)

# Pedobiologie: saprotrofní potravní řetězec

Rozdíly a vazby mezi fytofágickým (autotrofním) a dekompozičním (saprotrofním) subsystémem (zde potravním řetězcem)

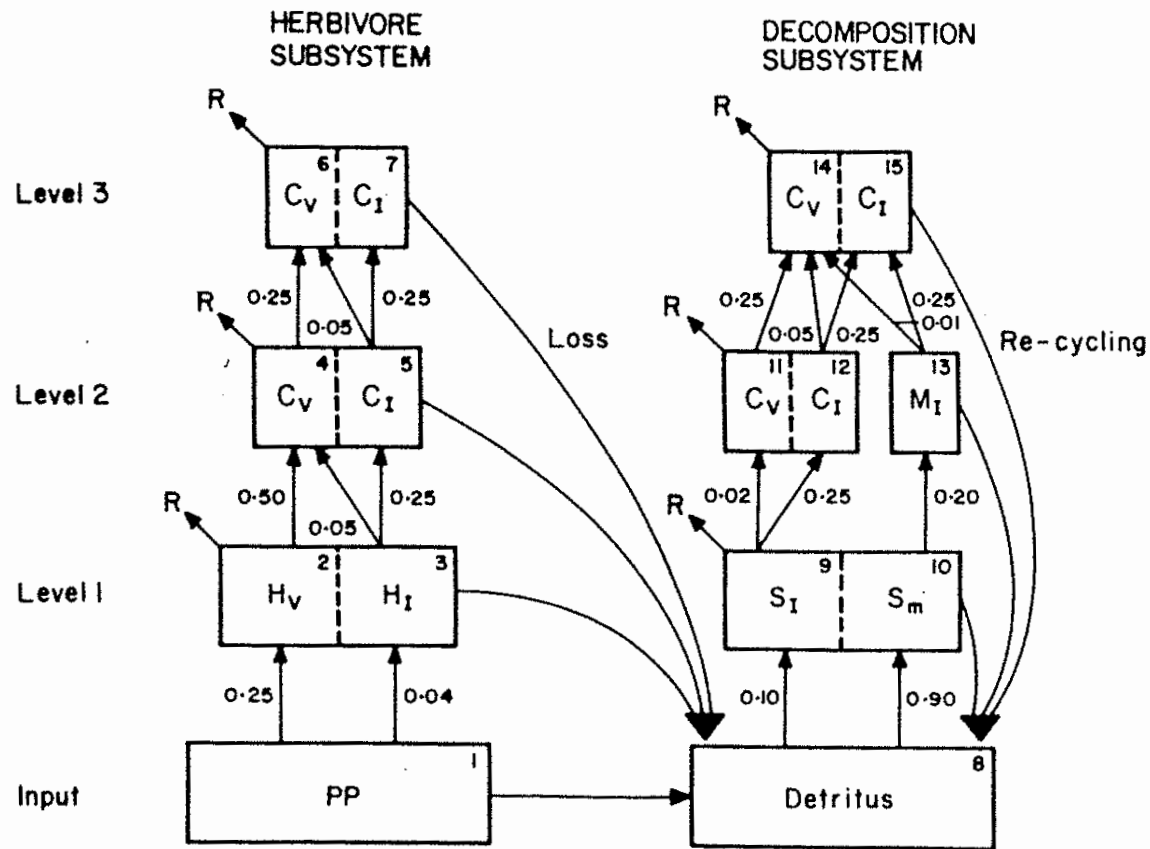
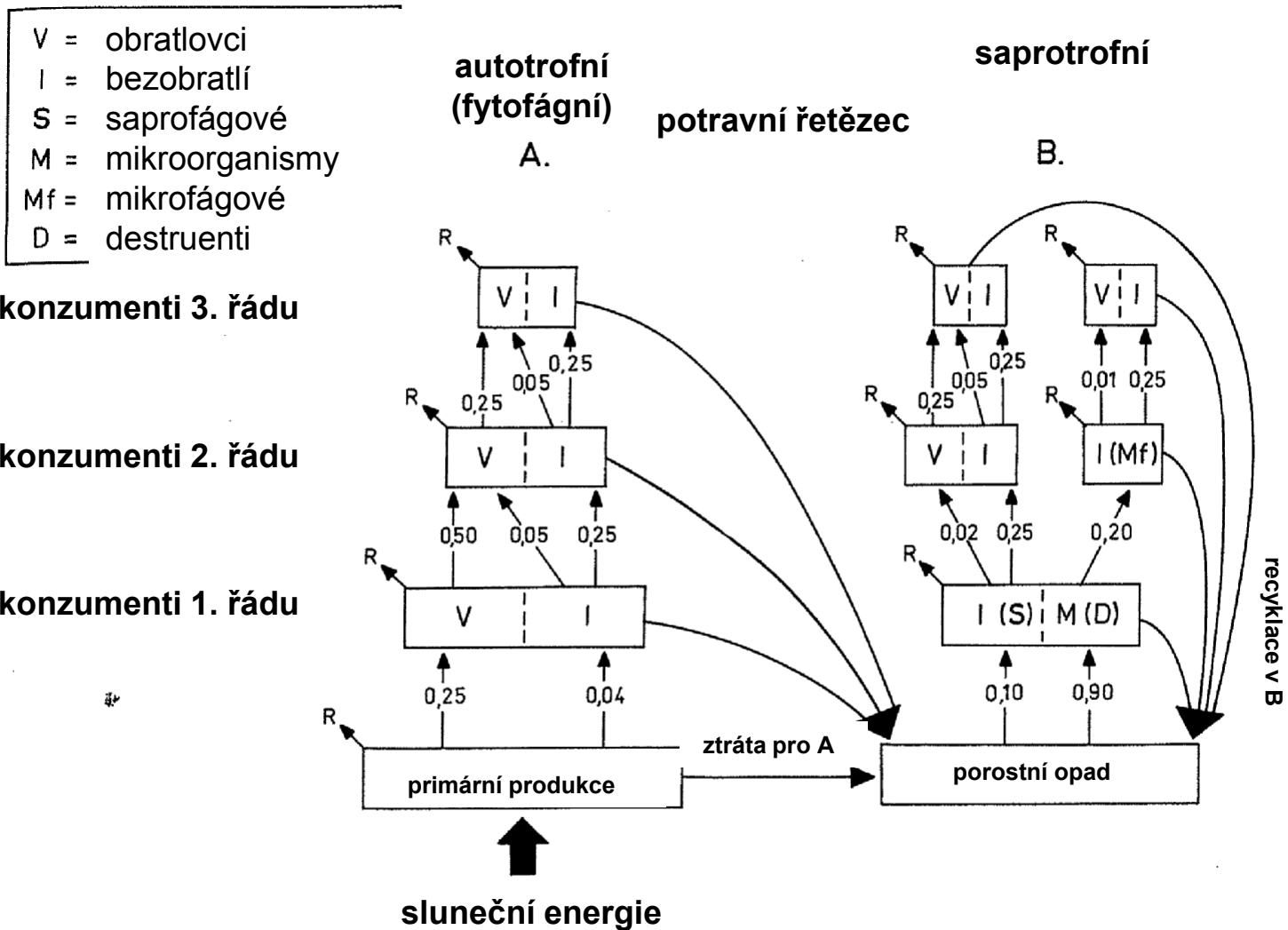


FIG. 1.4. A simple trophic model comparing the organisms of the herbivore and decomposition subsystems (after Heal & MacLean 1975). The symbols are those of the original paper: S = saprovores decomposers; M = microbivore; H = herbivore; C = carnivore; v = vertebrate; i = invertebrate; m = micro-organism; R = loss to respiration; PP = primary production. The transfers linking the compartments are the fractions transferred at any one linear run of the model.

# Pedobiologie: saprotrofní potravní řetězec



Schematické znázornění trofické struktury travinného ekosystému s dvěma systémy potravních řetězců. Hodnoty udávají jednotlivé ekotrofické koeficienty odvozené ze vzorce  $C_{n+1}/P_n$ . R = respirace.

## Pedobiologie: saprotrofní potravní řetězec

Energetické hodnoty hlavních pochodů u heterotrofních organismů v travinném ekosystému: u všech parametrů zdaleka převažuje podíl dekompozičního subsystému

**Table 1.2.** Calculated ingestion, production, respiration and egestion by heterotrophs ( $\text{k cal m}^{-2} \text{ yr}^{-1}$ ) per  $100 \text{ k cal m}^{-2}$  net annual primary production in a grassland ecosystem. The efficiencies of consumption, assimilation and production shown in Fig. 1.4 were used in the calculation. Symbols as in Fig. 1.4 (modified from Heal & MacLean 1975).

		Ingestion	Production	Respiration	Egestion
<b>Herbivore subsystem</b>					
Herbivores	Vertebrate ( $H_v$ )	25.000	0.250	12.250	12.500
	Invertebrate ( $H_i$ )	4.000	0.640	0.960	2.400
Carnivores	Vertebrate ( $C_v$ )	0.160	0.003	0.123	0.031
	Invertebrate ( $C_i$ )	0.170	0.040	0.095	0.034
<b>Decomposition subsystem</b>					
Decomposers	Invertebrate ( $S_i$ )	15.153	1.212	1.818	12.122
	Microbial ( $S_m$ )	136.377	54.551	81.826	—
Microbivores	Invertebrate ( $M_i$ )	10.910	1.309	1.964	7.637
Carnivores	Vertebrate	0.041	0.001	0.032	0.008
	Invertebrate	0.648	0.155	0.363	0.130
<b>Total</b>		<b>192</b>	<b>58</b>	<b>99</b>	<b>35</b>
<b>% passing through</b>					
Herbivore subsystem		15.2	1.6	13.5	42.9
Decomposition subsystem		84.8	98.4	86.5	57.1



## Obecný model struktury ekosystému

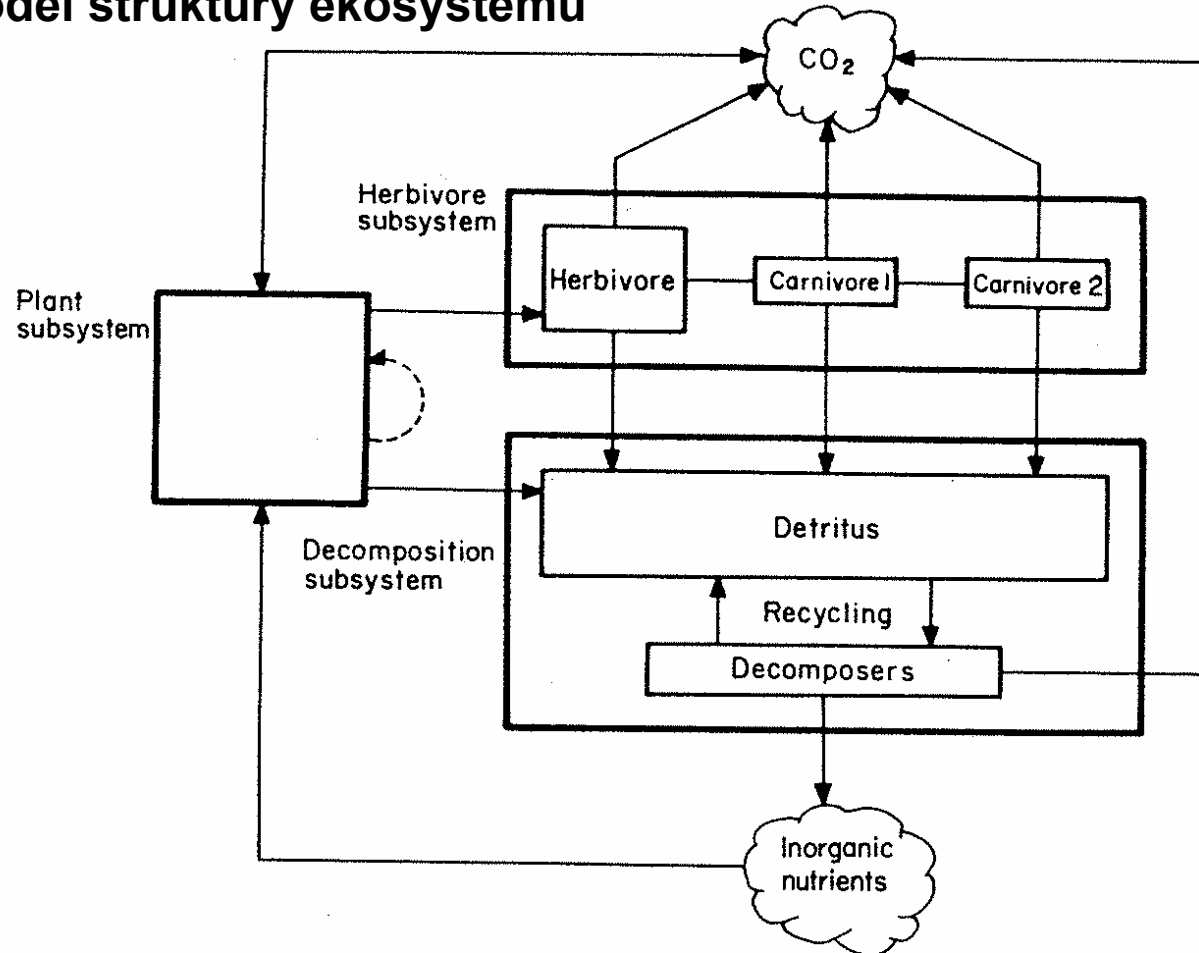


FIG. 1.3. A general model of ecosystem structure. The three subsystems are shown together with their main components. The major pathways of transfer of matter within the ecosystem are shown by the arrows. Organic matter pools are shown as rectangles, inorganic as 'clouds'. Note in particular the links between the herbivore and decomposition subsystems, the recycling of matter *within* the decomposition subsystem and the net storage of matter that may occur within the plant subsystem (broken arrow).

# Pedobiologie: saprotrfní potravní řetězec

## Zdroje a toky živin uvnitř ekosystému

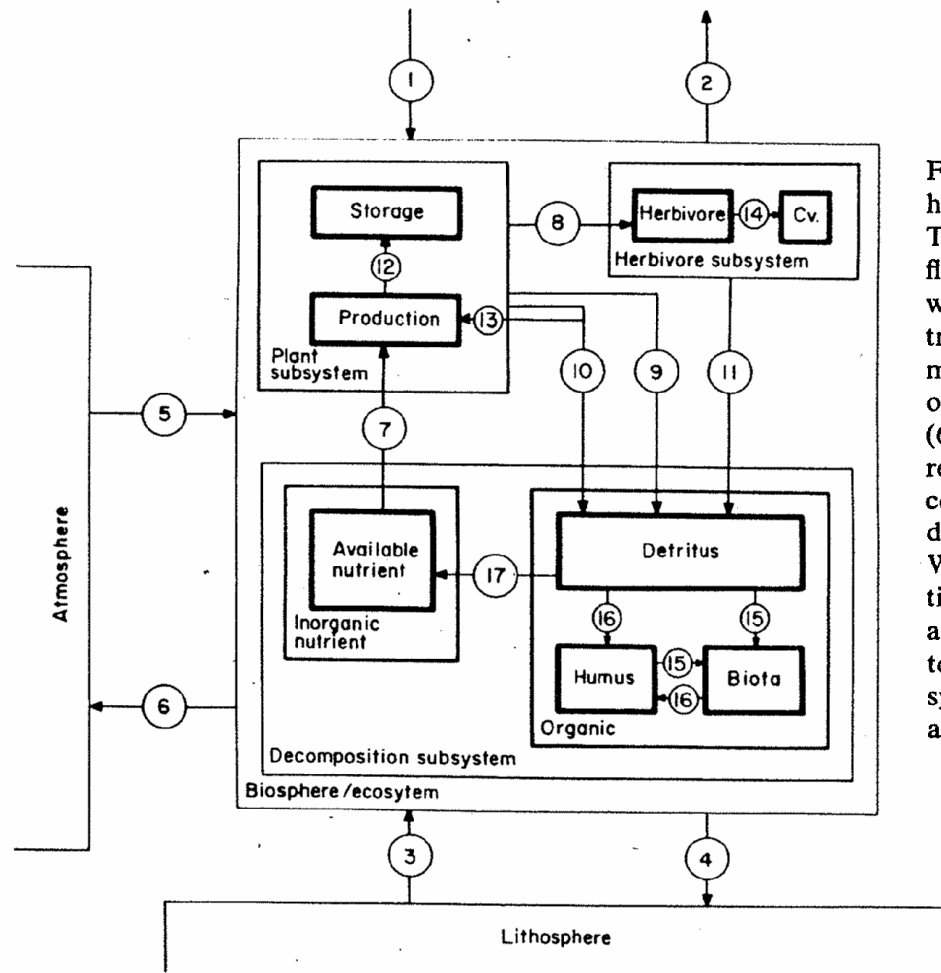


FIG. 1.10. Nutrient pools and fluxes within ecosystems. The model has a hierarchical structure of pools represented by the diminishing sizes of the boxes. The ecosystem is connected to other ecosystems by input (1) and output (2) fluxes which may be of material of either mineral or biological origin. Exchanges with the lithosphere and atmosphere are also pictured as extra-ecosystem transfers as explained in the text. These consist of the formation of secondary minerals (3) and their loss (4); the fixation of C and N by the plants or micro-organisms (5) and volatilisation of elements (e.g. as  $\text{CO}_2$ ,  $\text{CH}_4$ ,  $\text{H}_2\text{S}$  or  $\text{N}_2$ ) (6). Within the ecosystem the three main subsystems are connected by fluxes representing uptake of nutrients by plants (7), losses from them by herbivore consumption (8), leaching (9) and litter production (10). The transfer to the decomposition subsystem from the herbivore subsystems is also shown (11). Within the plant subsystem the main fluxes shown are of storage in perennial tissues (12) and withdrawal from senescent leaves (13). Predation transfers (14) are shown in the herbivore subsystem. Immobilisation transfers from detritus to decomposers (15) or humus (16) are shown within the decomposition subsystem. Mineralisation (17) replenishes the inorganic pool and the pool of available nutrient in particular. Further details in the text.

# Pedobiologie: saprotrofní potravní řetězec

## Ökosystem s toky energie (plné čáry) a vybranými toky či koloběhy látek

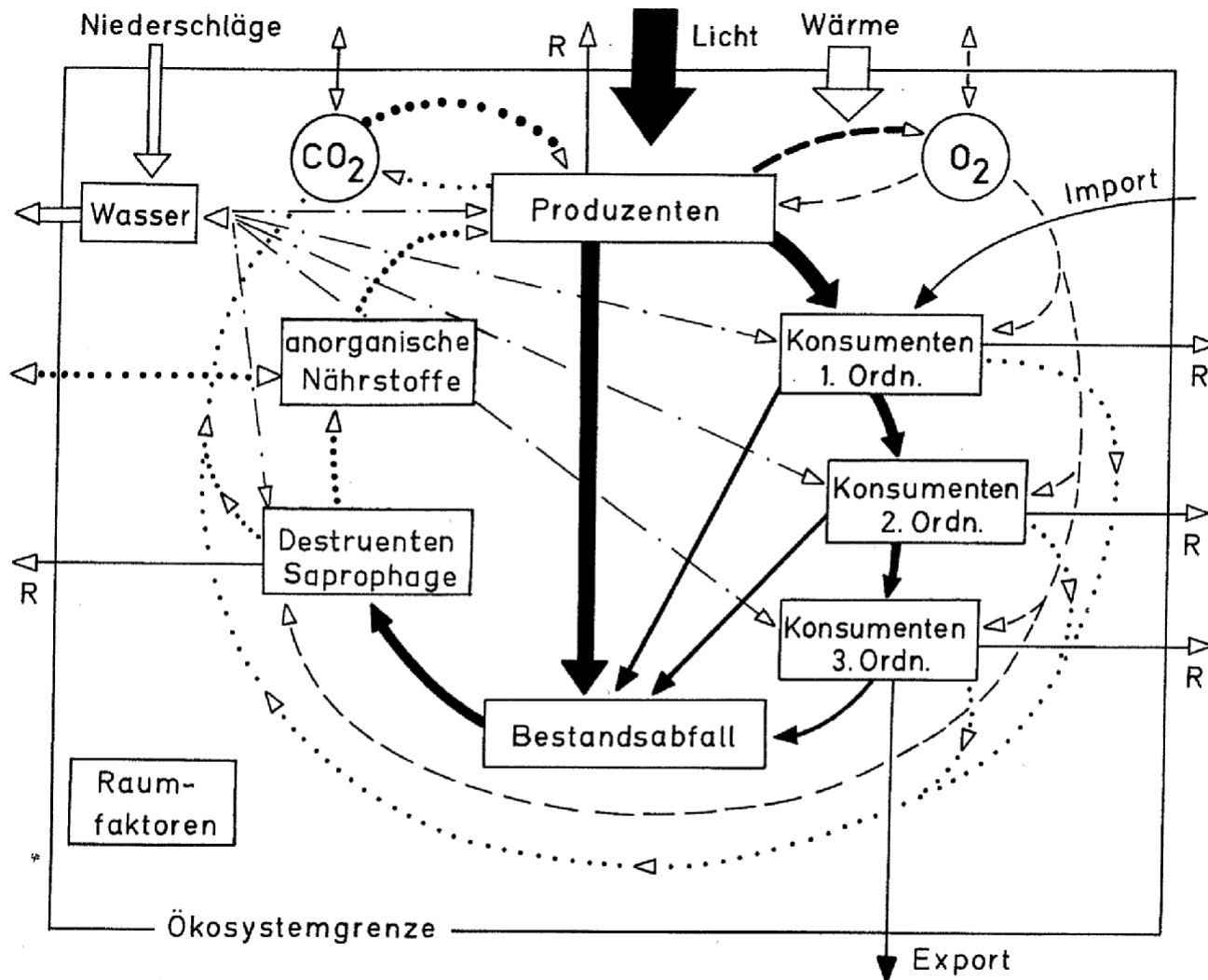


Abb. 1.12: Schematische Darstellung eines Ökosystems mit Energiefluß (durchgezogene Linien) und ausgewählten Stoffflüssen bzw. Stoffkreisläufen. R = Respiration (Atmung) bedeutet Verlust an verfügbarer Energie für das Ökosystem. Export und Import von organisch gebundener Energie kann auf allen Konsumentenebenen erfolgen (Aus- und Zuwanderung von Organismen).

# Pedobiologie: saprotrofní potravní řetězec

## Přenos energie v ekosystému

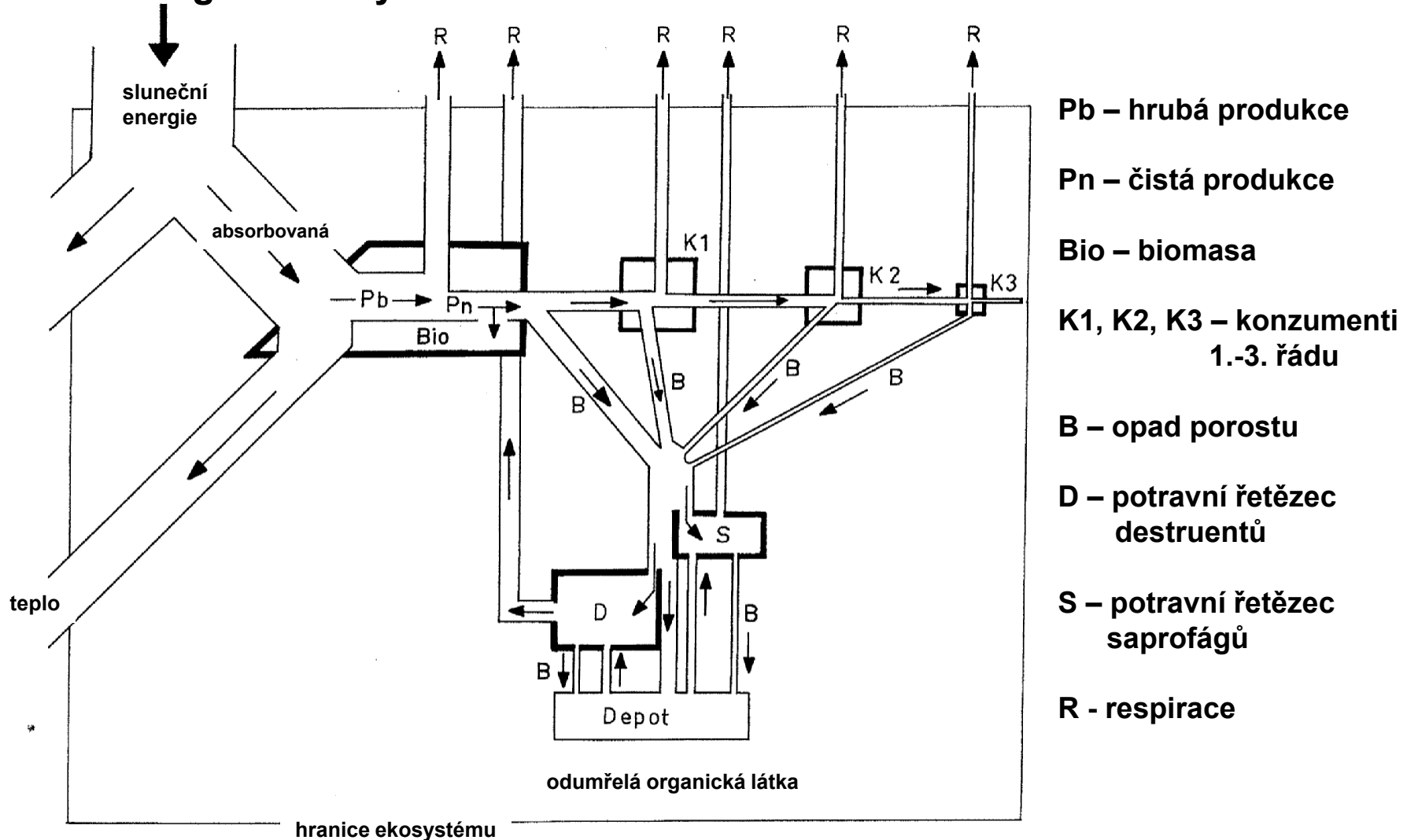
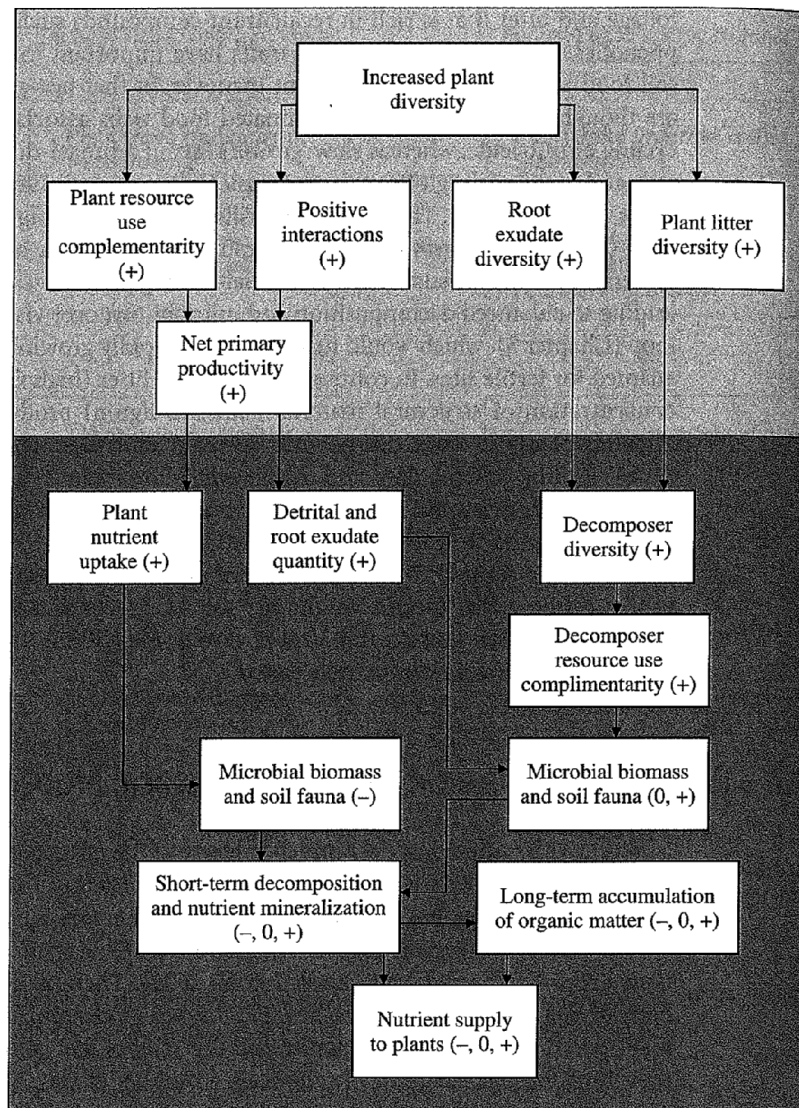


Abb. 1.8: Schema des Energietransfers in einem Ökosystem. Darstellung nicht maßstabsgerecht. Es bedeuten: Pb = Bruttoproduktion; Pn = Nettoproduktion; Bio = Biomasse; K1, K2, K3 = Konsumenten 1., 2., 3. Ordnung; B = Bestandsabfall; D = Destruentennahrungskette; S = Saprofagennahrungskette; R = Respiration.

## Pedobiologie: saprotrofní potravní řetězec

Hypotetický mechanismus kterým by bohatství rostlinného společenstva mohlo ovlivňovat procesy usměrňované rozkladači.



Hypothetical mechanisms by which changes in plant species richness may affect decomposer-mediated processes. +, 0, and - indicate positive, neutral, and negative effects respectively. (Redrawn with permission from Oxford University Press; Wardle and Van der Putten 2002.)

# Pedobiologie: saprotrofní potravní řetězec

## Přísun a akumulace organické látky v různých biomech

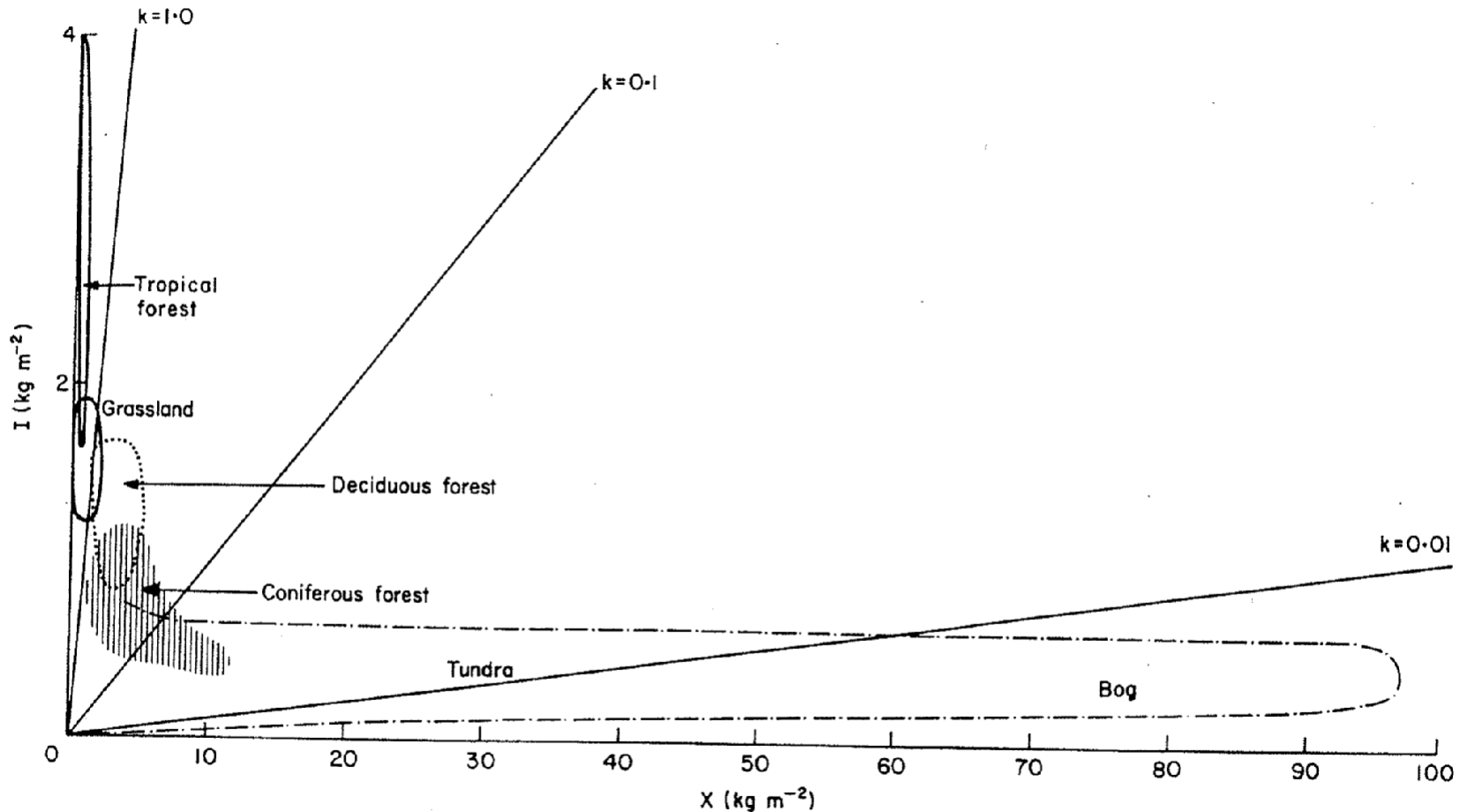


FIG. 1.6. Input ( $I$ ) and accumulation ( $X$ ) of organic matter in a number of biomes. Inputs are best estimates of total input from primary production in  $\text{kg m}^{-2} \text{yr}^{-1}$  and accumulation is the total amount of organic matter in the soil (from Heal, Flanagan, French & MacLean in press).

## Pedobiologie: saprotrofní potravní řetězec

Vztah mezi předpokládanou a pozorovanou produkcí heterotrofů.

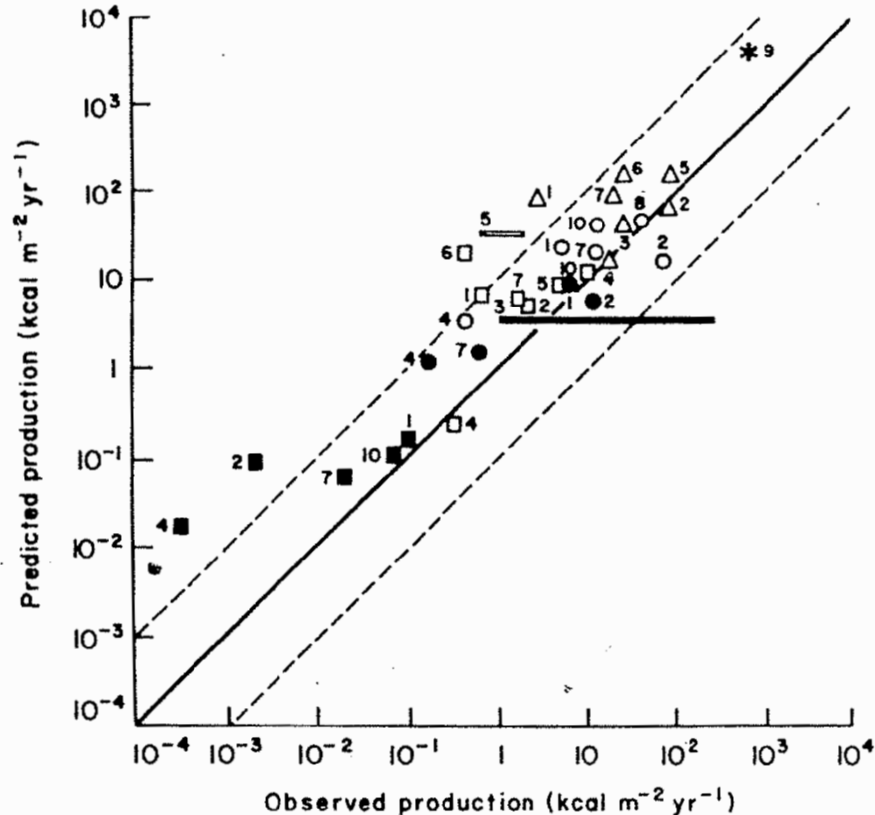


FIG. 1.5. Relationship between predicted and observed heterotroph production. The known NPP from ten sites were entered as inputs to the Heal and MacLean Model (Fig. 1.4) to predict the secondary production for various groups of heterotrophs: (○) invertebrate herbivores; (●) vertebrate herbivores; (■) vertebrate carnivores; (□) invertebrate carnivores; (△) invertebrate saprovores and microbivores; (\*) microbial saprovores. The predicted values are shown plotted against those actually measured at the sites which range from Tundra (3 and 4), Cold Temperate Moorland (2 and 7), Temperate Grassland (1) to Temperate Deciduous Forests (5, 6, 8, 9 and 10) (see Heal & MacLean 1975, for further details).